

Universidad de La Habana
Facultad de Matemática y Computación



Textos alternativos para las colecciones de imágenes del repositorio digital de la Oficina del historiador de La Habana

Autores:

**Amanda Cordero Lezcano
Ana Paula González Muñoz
Carlos Antonio Bresó Sotto
Christopher Guerra Herrero
Dennis Daniel González Durán
Marian Susana Álvarez Suri**

Proyecto final de la asignatura
Aprendizaje de Máquinas

Enero 2025

Resumen

Abstract

Índice general

1. Introducción	5
2. Estado del Arte	6
2.1. Modelos Basados en Redes Recurrentes	6
2.2. Modelos Basados en Redes Convolucionales	6
2.3. Atención y Modelos Jerárquicos	7
2.4. Transformers y Modelos Multimodales	7
2.5. Resumen y Tendencias Actuales	7
3. Propuesta	9
4. Desarrollo de la propuesta	10
5. Resultados	13
6. Conclusiones	15
Referencias	16

Capítulo 1

Introducción

En este proyecto, se desarrolla un sistema de generación de texto alternativo para las imágenes del repositorio digital de la Oficina del Historiador de la Ciudad de La Habana. Utilizando técnicas avanzadas de Machine Learning, el objetivo es crear descripciones precisas y detalladas que mejoren la accesibilidad a la información, permitan una mejor búsqueda y recuperación de imágenes.

El problema de generar texto alternativo para imágenes ha sido abordado mediante el uso de técnicas avanzadas de procesamiento del lenguaje natural (NLP) y visión por computadora. Investigaciones recientes han utilizado redes neuronales convolucionales (CNN) para analizar y comprender el contenido visual de las imágenes, combinadas con redes neuronales recurrentes (RNN) o transformadores para generar descripciones textuales coherentes y contextualmente adecuadas. Estos modelos han demostrado ser efectivos en la tarea de generación de texto alternativo, permitiendo la creación automática de descripciones que mejoran significativamente la accesibilidad y búsqueda de contenido visual en diversos repositorios digitales.

La propuesta de solución implica la combinación de dos modelos pre-entrenados de generación de texto alternativo, con los cuales se generan dos descripciones para cada imagen, y luego se aplica un algoritmo de selección que elige la descripción que mejor se ajusta a cada imagen específica. Esta metodología no solo aprovecha las capacidades avanzadas de cada modelo, sino que también asegura que la descripción final sea la más precisa y relevante.

Capítulo 2

Estado del Arte

El campo del *image captioning* ha evolucionado significativamente en la última década, impulsado por el avance de modelos de aprendizaje profundo. En este capítulo, se presentan los principales enfoques y modelos que han marcado hitos en esta área, destacando sus arquitecturas, metodologías y contribuciones.

2.1. Modelos Basados en Redes Recurrentes

Los primeros avances en generación de descripciones de imágenes se apoyaron en arquitecturas *encoder-decoder* con redes neuronales recurrentes (RNN). Uno de los primeros modelos destacados fue **Show and Tell** [1], que utilizó una combinación de una red convolucional (CNN) para la extracción de características visuales y una red LSTM para la generación de texto. Este modelo logró buenos resultados en datasets como MSCOCO y Flickr30k, evaluándose con métricas como BLEU y METEOR.

Posteriormente, **Show, Attend and Tell** [2] introdujo mecanismos de atención visual, permitiendo que el modelo enfocara diferentes regiones de la imagen en cada paso de generación. Este enfoque mejoró la calidad de las descripciones y presentó una formulación matemática más avanzada para el cálculo de la atención.

2.2. Modelos Basados en Redes Convolucionales

En un intento por superar las limitaciones de las RNN, **Convolutional Image Captioning** [3] propuso una arquitectura basada en CNNs para la generación de texto. Este modelo demostró que las CNNs pueden superar a

las LSTM en tareas de *captioning*, especialmente cuando se combinan con mecanismos de atención, mitigando problemas como el desvanecimiento del gradiente.

2.3. Atención y Modelos Jerárquicos

Otro enfoque relevante fue el modelo **Bottom-Up and Top-Down** [4], que implementó un mecanismo de atención jerárquico basado en la segmentación de objetos dentro de la imagen. Este modelo mejoró el rendimiento en tareas como *Visual Question Answering* e *image captioning*, utilizando datasets como Visual Genome y MSCOCO.

Knowing When to Look [5] propuso un mecanismo de atención adaptativo mediante un centinela visual, que decide cuándo prestar atención a la imagen y cuándo confiar en el contexto textual generado previamente. Este modelo ofreció mejoras en métricas como CIDEr y BLEU.

2.4. Transformers y Modelos Multimodales

Con la llegada de los Transformers, los modelos de *captioning* han adoptado arquitecturas más avanzadas. **Multimodal Transformer** [6] exploró la representación visual multi-vista para mejorar la generación de texto, mientras que **BLIP** [7] amplió la capacidad de los modelos al abordar tanto la generación como la comprensión de imágenes y videos, logrando mejoras en tareas como recuperación de imágenes y preguntas visuales.

Además, **CLIP** [8] introdujo el aprendizaje multimodal a gran escala utilizando correspondencias entre imágenes y texto en internet, mientras que **ViT** [9] aplicó Transformers directamente a imágenes dividiéndolas en parches, lo que representó un cambio significativo en el procesamiento de información visual.

2.5. Resumen y Tendencias Actuales

La evolución del *image captioning* ha pasado de modelos basados en RNNs con atención visual a enfoques más sofisticados que integran Transformers y aprendizaje multimodal. Modelos recientes como BLIP y CLIP han demostrado que la combinación de visión y lenguaje en grandes volúmenes de datos puede llevar a mejoras sustanciales en la generación y comprensión de imágenes.

Las tendencias actuales apuntan a modelos más eficientes y escalables, con capacidades mejoradas en la generación de texto y una mayor comprensión del contexto visual. El impacto de estas tecnologías se extiende más allá del *image captioning*, beneficiando tareas como búsqueda visual, generación de contenido y asistencia en accesibilidad.

Capítulo 3

Propuesta

Se propone un sistema para la generación de texto alternativo a partir de las imágenes del repositorio digital del patrimonio cultural de la Oficina del Historiador, combinando múltiples modelos de aprendizaje profundo. La metodología se basa en un enfoque de evaluación comparativa entre diferentes modelos de generación de texto a partir de imágenes, utilizando un criterio de selección basado en la similitud semántica con el contenido visual.

En primer lugar, se emplea el modelo BLIP (Bootstrapped Language-Image Pretraining) para generar una primera descripción de la imagen. Posteriormente, la imagen es procesada por el modelo ViT (Vision Transformer) en conjunto con GPT-2, obteniendo una segunda descripción independiente. Finalmente, el modelo CLIP (Contrastive Language-Image Pretraining) se utiliza como mecanismo de selección, comparando las dos descripciones generadas y eligiendo la que presente una mayor correspondencia semántica con la imagen de entrada.

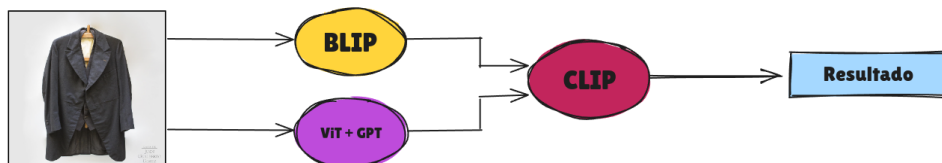


Figura 3.1:

Capítulo 4

Desarrollo de la propuesta

El primer paso en nuestro proyecto fue la descarga del dataset de imágenes desde el servidor.

Se realizó una investigación exhaustiva sobre el estado del arte en el campo de procesamiento de imágenes para generación de textos alternativos. El resumen incluyó una caracterización de las formas de aprendizaje en los modelos de Machine Learning, la arquitectura que se llevó a cabo para el desarrollo del algoritmo, el modelo de lenguaje empleado, así como los datasets y métricas que fueron seleccionados durante el entrenamiento y evaluación de los modelos.

Se seleccionaron los modelos que mejor se adaptaban a nuestro caso, optando por BLIP y Visual Transformers (GPT-2), los cuales destacan por su eficacia en tareas de procesamiento de imágenes y generación de texto.

Se realizó un análisis exploratorio de los datos para comprender mejor las características y peculiaridades del dataset, lo cual contribuyó a identificar patrones y posibles problemas que podrían ser enfrentados durante el procesamiento de las imágenes.

Se procesaron todas las imágenes localmente utilizando los modelos seleccionados y mediante el uso de CLIP, se seleccionó la descripción que mejor se adaptaba a cada imagen.

Utilizamos las métricas BLEU y METEOR sobre los resultados obtenidos para evaluar el rendimiento de nuestros modelos, lo que nos permitió medir la efectividad de nuestro enfoque.

Finalmente, analizamos estadísticas básicas sobre los resultados finales. Este análisis nos proporcionó una visión clara de la calidad y consistencia de nuestras descripciones generadas y nos ayudó a identificar áreas de mejora para futuros proyectos.

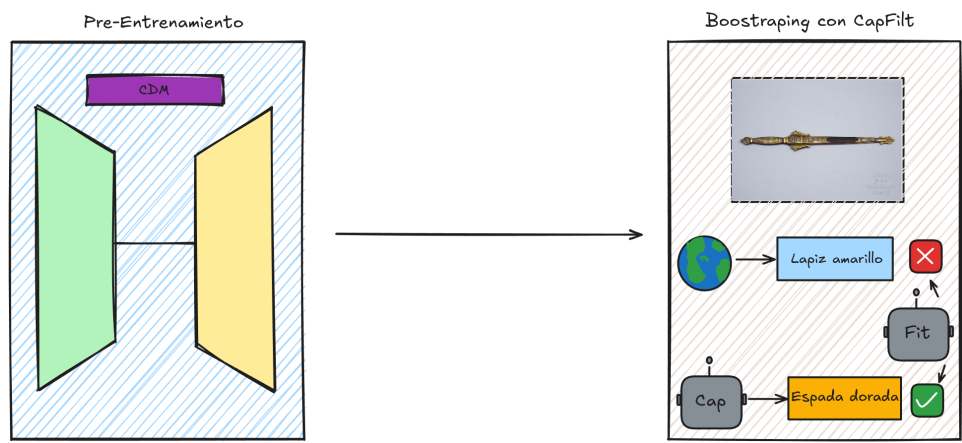


Figura 4.1:

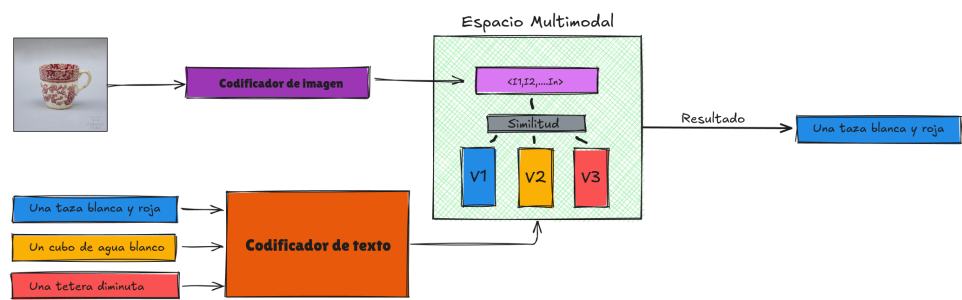


Figura 4.2:

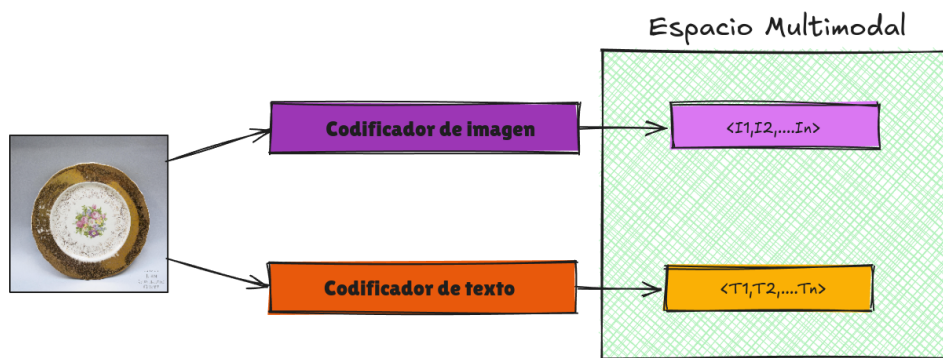


Figura 4.3:

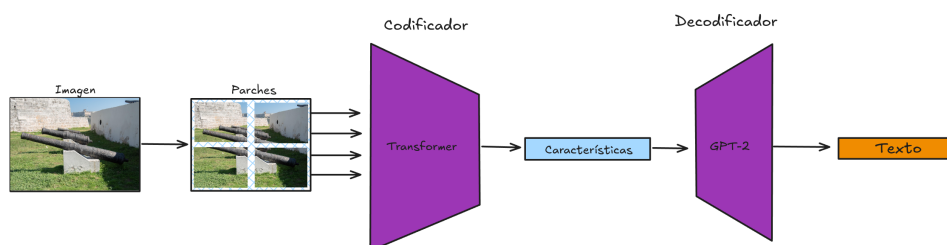


Figura 4.4:

Capítulo 5

Resultados

Para evaluar nuestro modelo de captioning de imágenes, seleccionamos cuidadosamente un conjunto de 391 imágenes provenientes de diversas colecciones, garantizando una amplia representación del dataset.

Una vez que las imágenes fueron seleccionadas, nuestro equipo creó captions descriptivas para cada una de ellas. Estas captions humanas fueron compiladas en un documento, que sirvió como conjunto de referencia para la evaluación.

Con el documento de captions humanas listo, procedimos a utilizar nuestro modelo de captioning para generar descripciones automáticas para las mismas 391 imágenes. Estas captions generadas por el modelo fueron luego comparadas directamente con las captions humanas utilizando métricas de evaluación estándar como BLEU, METEOR, CIDEr y SPICE.

Métricas usadas:

- CIDEr: la métrica CIDEr (Consensus-based Image Description Evaluation) es una forma de evaluar la calidad de las descripciones textuales generadas de imágenes. La métrica CIDEr mide la similitud entre una caption generada y las captions de referencia, y se basa en el concepto de consenso: la idea de que las buenas captions no solo deben ser similares a las captions de referencia en términos de elección de palabras y gramática, sino también en términos de significado y contenido.

- SPICE: La métrica SPICE (Semantic Propositional Image Caption Evaluation) mide la calidad semántica de las descripciones de imágenes generadas por modelos. A diferencia de otras métricas que se centran en la similitud superficial de palabras, SPICE evalúa el contenido semántico dividiendo las descripciones en representaciones de gráficos semánticos, que incluyen objetos, atributos y relaciones. Estos gráficos se comparan luego

con gráficos de referencia creados a partir de descripciones humanas. La métrica SPICE se enfoca en capturar la precisión y la integridad semántica, asegurándose de que la descripción generada refleje correctamente los elementos y las relaciones presentes en la imagen.

Los valores de la métrica SPICE se interpretan en términos de precisión semántica y correspondencia con las descripciones humanas. Un valor SPICE alto indica que la descripción generada por el modelo representa de manera precisa y completa los elementos y relaciones de la imagen, similar a como lo harían los humanos. Por el contrario, un valor SPICE bajo sugiere que la descripción carece de precisión o no captura adecuadamente el contenido semántico de la imagen.

- BLEU(Bilingual Evaluation Understudy): es un algoritmo utilizado para evaluar la calidad del texto que ha sido traducido automáticamente de un idioma natural a otro. Fue inventado en IBM en 2001 y es una de las primeras métricas en afirmar una alta correlación con los juicios humanos de calidad.

El puntaje BLEU se calcula comparando el texto traducido automáticamente (candidato) con uno o más textos traducidos profesionalmente por humanos (referencias). Se considera que la calidad es la correspondencia entre la salida de la máquina y la de un humano. La idea central detrás de BLEU es que cuanto más cercana sea una traducción automática a una traducción profesional humana, mejor será".

- Meteor: es una métrica utilizada para evaluar la traducción automática comparándola con traducciones humanas. Tiene en cuenta tanto la precisión como la fluidez de la traducción, así como el orden en que aparecen las palabras. El puntaje METEOR varía de 0 a 1, con un puntaje más alto indicando mejor calidad de traducción.

El algoritmo detrás del puntaje METEOR compara el texto traducido con la traducción de referencia humana descomponiéndolos en fragmentos y calculando la similitud entre cada fragmento utilizando varias medidas, como la precisión de unigramas, el recall y el F-score, la superposición de bigramas y las coincidencias exactas de palabras. Finalmente, se utiliza el promedio ponderado de estas medidas para calcular el puntaje METEOR general.

Capítulo 6

Conclusiones

Para la generación de texto alternativo en las imágenes del repositorio digital del historiador de La Habana, seleccionamos los modelos de procesamiento BLIP y Visual Transformers (GPT-2). El análisis exploratorio del dataset nos permitió ajustar los modelos de manera adecuada, usando CLIP para la selección de descripciones. Las métricas BLEU y METEOR mostraron el desempeño de los modelos, y el análisis estadístico permitió identificar áreas de mejora. Este estudio sienta una base para futuras optimizaciones en modelos y estrategias para la generación de texto alternativo.

Referencias

- [1] Oriol Vinyals, Alexander Toshev, Samy Bengio, and Dumitru Erhan. Show and tell: A neural image caption generator. *arXiv preprint arXiv:1411.4555*, 2015. (Citado en la página 6).
- [2] Kelvin Xu, Jimmy Lei Ba, Ryan Kiros, Kyunghyun Cho, Aaron Courville, Ruslan Salakhutdinov, Richard S. Zemel, and Yoshua Bengio. Show, attend and tell: Neural image caption generation with visual attention. *arXiv preprint arXiv:1502.03044*, 2015. (Citado en la página 6).
- [3] Jyoti Aneja, Aditya Deshpande, and Alexander G. Schwing. Convolutional image captioning. *arXiv preprint arXiv:1805.09019*, 2018. (Citado en la página 6).
- [4] Peter Anderson, Xiaodong He, Chris Buehler, Damien Teney, Mark Johnson, Stephen Gould, and Lei Zhang. Bottom-up and top-down attention for image captioning and visual question answering. *arXiv preprint arXiv:1707.07998*, 2018. (Citado en la página 7).
- [5] Jiasen Lu, Caiming Xiong, Devi Parikh, and Richard Socher. Knowing when to look: Adaptive attention via a visual sentinel for image captioning. *arXiv preprint arXiv:1612.01887*, 2017. (Citado en la página 7).
- [6] Jun Yu, Jing Li, Zhou Yu, and Qingming Huang. Multimodal transformer with multi-view visual representation for image captioning. *arXiv preprint arXiv:1905.07841*, 2019. (Citado en la página 7).
- [7] Junnan Li, Dongxu Li, Caiming Xiong, and Steven Hoi. Blip: Bootstrapping language-image pre-training for unified vision-language understanding and generation. *arXiv preprint arXiv:2201.12086*, 2022. (Citado en la página 7).
- [8] Alec Radford, Jong Wook Kim, Chris Hallacy, Aditya Ramesh, Gabriel Goh, Sandhini Agarwal, Girish Sastry, Amanda Askell, Pamela Mishkin,

- Jack Clark, Gretchen Krueger, and Ilya Sutskever. Learning transferable visual models from natural language supervision. *arXiv preprint arXiv:2103.00020*, 2021. (Citado en la página 7).
- [9] Alexey Dosovitskiy, Lucas Beyer, Alexander Kolesnikov, Dirk Weissenborn, Xiaohua Zhai, Thomas Unterthiner, Mostafa Dehghani, Matthias Minderer, Georg Heigold, Sylvain Gelly, Jakob Uszkoreit, and Neil Houlsby. An image is worth 16x16 words: Transformers for image recognition at scale. *arXiv preprint arXiv:2010.11929*, 2021. (Citado en la página 7).